



Scan online to view this article

A new therapeutic approach for the treatment of breast cancer using synthesis of liposomes containing silybinin and their characterization

Mona Mohseni¹, Mahmood Dehghani Ashkezari¹, Milad Akhlaghi^{2,3}, Kazem Ansari³, Bibi Fatemeh Haghilosadat^{3,4*}

1. Medical Biotechnology Researching Center, Islamic Azad University, Ashkezar Branch, Yazd, Iran

2. Department of Clinical Biochemistry, Faculty of Medicine, Shahid Sadoughi University of Medical Sciences, Yazd, Iran

3. Nano-Biotech Foresight Company Biotechnology Campus, Yazd Stem Cells and Regenerative Medicine Institute, Yazd, Iran

4. Medical Nanotechnology & Tissue Engineering Research Center, Yazd Reproductive Sciences Institute, Shahid Sadoughi University of Medical Sciences, Yazd, Iran

Abstract:

Aim and Background: Silybinin, one of the active pharmaceutical ingredients in some medical herbs, has been proven to have anti-cancer effects. The aim of this study was to synthesis and characterize lipid nano-carriers containing silybinin in order to breast cancer treatment.

Material and Methods: Lipid nanocarriers were synthesized using a thin film method and the drug was loaded on them. Then the physicochemical properties were evaluated using DLS, AFM and spectrophotometers and their toxicity was measured in comparison with the free form of the drug by MTT assay on BT-474 breast cancer cell line.

Results: The synthesized nano-system with a size of 113.2 nm, zeta potential of -22 ± 1.63 mV, slow release type with appropriate physicochemical properties improves the anti-cancer effects of drug on breast cancer cells.

Conclusion: The results of this study demonstrated that the synthesized system, in addition to having appropriate physicochemical properties, could improve anti-cancer effect of drug.

Key words: Breast cancer, liposome, silybinin, Encapsulation, Slow release, Iau Science.

Corresponding author:

Medical Nanotechnology & Tissue Engineering Research Center, Yazd Reproductive Sciences Institute, Shahid Sadoughi University of Medical Sciences, Yazd, Iran
Email: Fhaghilosadat@gmail.com





برای مشاهده این مقاله به صورت
آنلاین اسکن کنید

رویکرد درمانی نوین جهت درمان سرطان پستان با استفاده از سنتز لیپوزوم های حاوی سیلی بینین و مشخصه یابی آنها

مونا محسنی^۱، محمود دهقانی اشکذری^۱، میلاد اخلاقی^۲، کاظم انصاری^۳، بی بی فاطمه حقیرالسادات^{*۳،۴}

۱. مرکز تحقیقات زیست فناوری پزشکی، دانشگاه آزاد اسلامی واحد اشکذری، یزد، ایران
۲. گروه بیوشیمی بالینی، دانشکده پزشکی، دانشگاه علوم پزشکی و خدمات درمانی شهید صدوقی یزد، یزد، ایران
۳. شرکت ریز زیست فناوران فردانگر، مرکز پزشکی بازساختی و سلول های بنیادی یزد، یزد، ایران
۴. مرکز نانو تکنولوژی و مهندسی بافت، پژوهشکده علوم تولید مثل یزد، دانشگاه علوم پزشکی شهید صدوقی یزد، یزد، ایران

چکیده

سابقه و هدف: سیلی بینین از جمله مواد مؤثره موجود در برخی گیاهان، با خواص ضدسرطانی ثابت شده است. هدف از این مطالعه، ساخت و مشخصه یابی نانو حامل های لیپیدی حاوی سیلی بینین، جهت به کار گیری در درمان سرطان پستان است.

مواد و روش ها: نانو حامل ها لیپیدی با استفاده از روش فیلم نازک سنتز و دارو در آن بارگیری گردید. سپس ویژگی های فیزیکو شیمیایی با استفاده از دستگاه های AFM، DLS و اسپکترو فوتومتر بررسی و سمیت آنها در مقایسه با فرم آزاد دارو به وسیله تست MTT بر روی سلول های سرطانی پستان رده BT-474 سنجش گردید.

یافته ها: سامانه سنتز شده با سایز nm $113/2 \pm 22$ ، پتانسیل زتای mV $163/0 \pm 0/161$ با یکنواختی و شکل مناسب از نوع آهسته رهش بوده و سبب افزایش کارایی دارو در غلظت های مختلف بر روی سلول های سرطانی پستان رده BT-474 می شود.

نتیجه گیری: نتایج این مطالعه نشان داد که سامانه سنتز شده علاوه بر داشتن خواص فیزیکو شیمیایی مناسب می تواند سبب افزایش عملکرد دارو بر روی سلول های سرطانی گردد.

واژگان کلیدی: سرطان پستان، لیپوزوم، سلی بینین انکپسولیشن، آهسته رهش، Iau Science.

خواهد شد (۲). سرطان پستان رایج ترین سرطان در میان زنان است. بر اساس آمارهای سازمان جهانی بهداشت از هر ۸ تا ۱۰ زن، یک نفر دچار سرطان پستان می شود. بر اساس آمارهای ایران، در کشور ما از هر ۱۰ تا ۱۵ زن، احتمال ابتلای یک زن به سرطان پستان وجود دارد، اما سن بروز سرطان پستان در زنان ایران دست کم یک دهه کمتر از زنان کشورهای توسعه یافته است. میانگین سن تشخیص سرطان پستان در کشورهای غربی، ۵۶ سال و در ایران ۴۵ سال است. سرطان پستان، دومین علت رایج مرگ ناشی از سرطان است (۳).

مقدمه

در حال حاضر یکی از مهم ترین علل مرگ و میر در جهان بیماری سرطان است (۱). تخمین زده شده که در سال ۲۰۲۰، حدود ۱۵ میلیون مورد جدید از ابتلا به سرطان و حدود ۱۰ میلیون مورد مرگ و میر ناشی از سرطان گزارش

نویسنده مسئول:

مرکز نانوتکنولوژی و مهندسی بافت، پژوهشکده علوم تولید مثل یزد، دانشگاه علوم پزشکی شهید صدوقی یزد، یزد، ایران

پست الکترونیکی: Fhaghilosadat@gmail.com

تاریخ دریافت: ۱۴۰۰/۰۱/۲۵

تاریخ پذیرش: ۱۴۰۰/۰۴/۰۲



استفاده از نانو فناوری در حیطه پزشکی است یکی از اهداف نانو فناوری سوار کردن مولکول‌ها و داروها بر روی مواد حامل و سپس فرستادن و رها کردن آن‌ها به درون سلول است.^(۷)

از آنجایی‌که تاکنون پژوهش‌های انجام شده بر روی بارگذاری ماده مؤثره گیاه خار مریم، سیلی‌بینین، در نانو حامل‌های لیپیدی بسیار اندک بوده لذا در این پژوهش به بررسی و اثرباری نانوسامانه لیپیدی سلیبین بر روی رد سلولی سرطان BT-474 پرداخته شده است.

مواد و روش‌ها

مواد شیمیایی

داروی سیلی‌بینین به صورت پودر خاص سیلی‌بینین از شرکت Sigma (آمریکا)، کسترون و فسفاتیدیل کولین سویا از شرکت Merck (آلمان)، تهیه و خریداری گردید.

تعیین طول موج مaksimum و رسم نمودار استاندارد سیلی‌بین

با استفاده از تهیه محلول استوک سیلی‌بینین در حلال‌های ایزوپرپیل و PBS طول موجی که سیلی‌بین در آن بیشتر جذب در بازه ۲۰۰ تا ۲۰۰ را دارد به‌وسیله روش اسپکتروفوتومتر تهیه گردید. برای رسم نمودار کالیبراسیون سیلی‌بینین، رقت‌های مشخص از سیلی‌بینین با حلال‌های ایزوپرپانول و PBS (Sigma، آمریکا) با استفاده از روش سری استاندارد تهیه و میزان جذب نمونه با استفاده از دستگاه اسپکتروفوتومتر (Epoch، آمریکا) در طول موج مaksimum سیلی‌بین خوانش گردید و در ادامه نمودار کالیبراسیون سیلی‌بینین در ایزوپرپانول و PBS ترسیم و معادله خط و ضریب رگرسیون آن تعیین گردید. آزمایش‌ها با ۳ بار تکرار انجام گردید.

سنتر لیپوزوم های حاوی سیلی‌بینین

به منظور ساخت نانولیپوزوم‌های حاوی سیلی‌بینین از روش هیدراتاسیون لایه نازک استفاده گردید که خلاصه آن به‌شرح زیر است.

در ابتدا کلسترون و فسفاتیدیل کولین سویا (SPC) با نسبت های مطابق جدول ۱ در حلال کلروفرم در دمای ۴۰ درجه سانتی‌گراد بر روی روتاری (هایدولف، آلمان) حل کرده و

با توجه به پیچیدگی مکانیسم وجود عوامل متعدد در ایجاد سرطان تاکنون درمان قطعی برای این بیماری یافت نشده است، اما امروزه از روش‌های درمانی مختلفی برای درمان سرطان پستان استفاده می‌شود. بدین سبب درمان‌های جدید هدفمند شده سرطان که منجر به اختصاصیت درمان تومور و کاهش سمیت شده است مورد بررسی قرار گرفته است.^(۴) در داروسازی مدرن تلاش‌های زیادی برای بهینه کردن عملکرد فارماکولوژیکی و کاهش اثرهای جانبی دارو انجام می‌شود و به‌علت جذب پایین دارو در بدن از نانو حامل‌های دارویی جهت کنترل رهایش دارو استفاده می‌شود. انواع حامل‌های مورد استفاده می‌سیل‌ها، لیپوزوم‌ها و نیوزوم‌ها هستند. لیپوزوم‌ها به عنوان کیسه‌های لیپیدی دو لایه شناخته شده‌اند که مدل‌های ایده‌آلی از غشاء‌های سلولی زیستی هستند که با به حداقل رساندن تأثیرهای مضر بر روی سلامتی سلول‌ها و بافت‌ها عمل می‌کنند.^(۵)

خار مریم با نام علمی *Silybum marianum* که با اسم مارتیغال و با نام‌های شناخته شده در جهان از قبیل نام انگلیسی خار شیری یا خار اسکاتلندي نیز شناخته می‌شود. دانه خار مریم، دارای به‌طور تقریبی ۴ تا ۶ درصد سیلی‌مارین و ۸۵-۸۰ درصد سیلی‌مارین و ۲۰ تا ۳۵ درصد اسید چرب هستند. سیلی‌بینین که با نام سیلی‌بینین نیز شناخته شده است ترکیب اصلی موجود در درانه عصاره الکلی گیاه خار مریم محسوب می‌شود و به‌طور تقریبی ۷۰-۵۰٪ این عصاره (سیلی‌مارین) را شامل می‌شود. سیلی‌بینین یک فلاونوئید از نوع فلاونولیگنان طبیعی است که با توجه به مطالعه‌های صورت گرفته، توانایی مهار رشد سرطان از طریق القای آپوپتوز در انواع سلول‌های سرطان و هم‌چنین سلول‌های اندوتیالی که نشانگر اثرهای ضدگرایی آن است را دارد اما مکانیسم مولکولی آن به‌خوبی مشخص نشده است. این ترکیب در بسیاری از رده‌های سلولی سرطانی از جمله سلول‌های سرطان پروستات، کولون، سینه و شش اثرهای درمانی نشان داده است. هرچند اثر این ماده در درمان سرطان به‌وضوح مشخص نیست اما اثر سیلی‌بینین در درمان سرطان به‌دلیل عملکرد ضد رادیکال آزاد و ضد رگزایی بودن آن است.^(۶) تاکنون در هیچ‌یک از مطالعه‌های انجام شده پیرامون این ترکیب اثر آن بر روی رده سلولی سرطان پستان مورد ارزیابی قرار نگرفته است. برای کاهش عوارض و افزایش کارایی عوامل شیمی درمانی از تکنولوژی‌های جدید استفاده می‌شود. از جمله این روش‌های نوین

سامانه جلوگیری شود. بهمنظور حذف ناخالصی‌های موجود و جداسازی ذرات با سایز نامطلوب از سوسپانسیون حاوی نمونه، از روش فیلتراسیون استفاده گردید. برای جداسازی داروهایی که در لیپوزوم بارگذاری نشده و در محلول آزاد هستند از کیسه دیالیز استفاده شد.

فیلم نازک تحت شرایط خلاء ساخته شد. هیدراتاسیون با اضافه کردن حجم مشخصی از بافر PBS در درمای 50°C به مدت ۱ ساعت انجام شد. بهمنظور کاهش اندازه ذرات از سونیکیت پروبی با توان اولترا سونیک ۱۰۰ وات و فرکانس $28 \pm 5\text{ KHz}$ به مدت ۱ ساعت استفاده شد. در طول انجام فرآیند شرایط دمایی کنترل گردید تا از آسیب به نانو

جدول ۱. نسبت‌ها و غلظت‌های مولی مورد استفاده در ساخت لیپوزوم

نسبت لپید به سیلیبین (٪ مولی)	غلظت سلیبینین (mg/mL)	غلظت سلیبینین (٪ مولی)	نسبت لپید به سیلیبین (٪ مولی)
۷۰	۳۰	EC = ۰.۵	L/D = ۲.

تعیین گردید و تکرارپذیری داده‌ها نیز مورد ارزیابی قرار گرفت. در ادامه با استفاده از معادله خط به دست آمده از نمودار کالیبراسیون و با استفاده از رابطه زیر میزان انباشتگی سیلیبینین محاسبه گردد.

بهمنظور اندازه‌گیری میزان سیلیبینین درون‌گیری شده از حلال ایزوپروپیل استفاده شد. رقت‌های حجمی متفاوت از ایزوپروپیل-لیپوزوم حاوی سیلیبینین با تکرارهای سه‌تایی تهیه و جذب هر کدام با استفاده از دستگاه اسپکتروفوتومتر

$$\frac{\text{مقدار داروی بارگذاری شده}}{\text{مقدار داروی اولیه}} \times 100 = \text{میزان درون‌گیری} (\%)$$

بهمنظور بررسی مورفولوژی سطحی نانوذرات (شکل، صافی و توده‌ایی شدن) میکروسکوپ نیروی اتمی (AFM) (JPK0 instruments II; Nanowizard, آلمان) استفاده گردید. چرا که در حال حاضر استفاده از روش‌های میکروسکوپی، از مهم‌ترین روش‌ها برای بررسی مورفولوژی نانوذرات است.

تعیین میزان زنده‌مانی سلول
رده سلولی در این مطالعه رده سلولی BT-474 سرطان پستان بود که از انستیتوی پاستور ایران تهیه گردید. سلول‌ها درون فلاسک‌های 75 mL ، ۱ بار مصرف کشت سلولی حاوی محیط کشت Thermofisher – RPMI 1640 (GIBCO، آمریکا) غنی شده با L-گلوتامین (2 mM) به همراه سرم گاوی 10% (FBS)، 1% پنی سیلین - استرپتومایسین (100 U/mL) و $100\text{ }\mu\text{g/mL}$ استرپتومایسین (در انکوباتور با دمای 37°C درجه سانتی‌گراد و $5\% \text{ CO}_2$ و رطوبت 95% کشت داده شدند).

بهمنظور بررسی روند رهایش در شرایط برونتن از بافر PBS با pH $7/4$ استفاده شد. بدین منظور میزان ۱ میلی-لیتر از سوسپانسیون نمونه، درون کیسه دیالیز منتقل گردید و کیسه دیالیز حاوی نمونه را در فالکون محتوى بافر PBS قرار داده و با ایجاد شرایط دمایی (دمای بدن 37°C) ستیر می‌گردد و در فواصل زمانی متفاوت نسبت به نمونه‌برداری از محیط اطراف کیسه دیالیز اقدام و به همان نسبت بافر هم دما و تازه جایگزین گردید. سپس میزان جذب نمونه‌هایی برداشت شده با استفاده از دستگاه اسپکتروفوتومتر تعیین و در انتهای با بهره‌گیری از معادله خط به دست آمده از نمودار کالیبراسیون سیلیبینین در بافر PBS نسبت به اندازه‌گیری غلظت سیلیبینین در زمان‌های مختلف و رسم نمودار آن اقدام گردید.

مورفولوژی، اندازه و پتانسیل زتابی نانوذرات برای اندازه‌گیری سایز ذرات و پتانسیل زتابی نانوذرات از دستگاه زتا سایزر (شرکت مالرون، انگلستان) در دمای اتاق و تحت زاویه 90° درجه استفاده شد.

از محلول MTT با غلظت 5 mg/mL به مدت ۳ ساعت جهت متابولیزه کردن MTT برقرار گردید سپس از حذف محیط روبی، میزان $180 \mu\text{L}$ محلول DMSO جهت حل کردن کریستال‌های بنفس به چاهک‌ها اضافه می‌گردد. در انتهای، جذب نوری در طول موج 570 nm و طول موج رفرانس 630 nm با استفاده از الایزا ریدر اندازه‌گیری و درصد زنده‌مانی سلول‌ها با استفاده از معادله زیر بدست آمد.

برای بررسی سمیت سامانه لیپیدی ساخته شده و تعیین درصد زنده‌مانی سلول‌ها از روش MTT استفاده شد. به منظور اندازه‌گیری سمیت، سلول‌های BT-474 سرطان پستان به پلیت‌های ۹۶ خانه‌ای منتقل شده و بعد از ۲۴ ساعت انکوباسیون سلول‌ها با لیپوزوم حاوی سیلی‌بینین و بدون سیلی‌بینین (با غلظت‌های $400, 200, 100, 50, 25$ و $12.5 \mu\text{g/mL}$) و همچنین سیلی‌بینین آزاد (با غلظت‌های $400, 200, 100, 50, 25$ و $12.5 \mu\text{g/mL}$) در تکرارهای ۴ تا یک، به مدت ۲۴ ساعت تیمار شدند در ادامه میزان ۲۰ لاندا

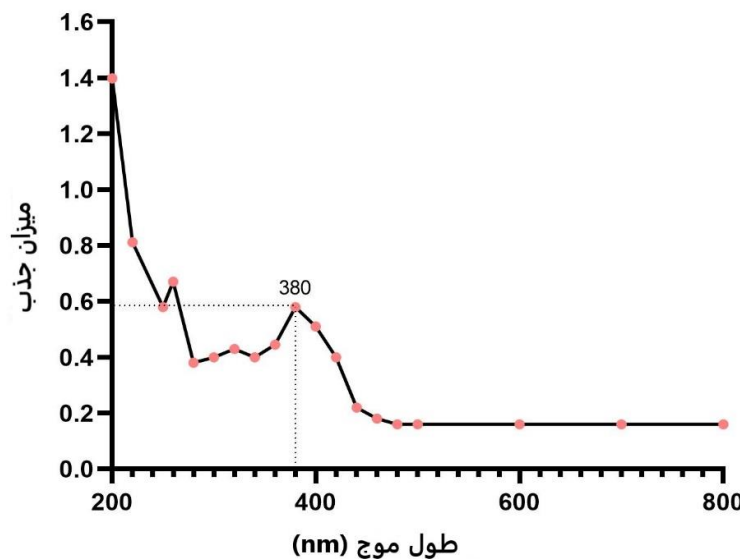
$$\frac{\text{میانگین جذب نوری در محیط کشت} - \text{میانگین جذب نوری در گروه آزمون}}{\text{میانگین جذب نوری در محیط کشت} - \text{میانگین جذب نوری در گروه کنترل}} \times 100 = \text{میزان زنده‌مانی سلول‌ها} (\%)$$

(نمودار ۱). بررسی این طیف نشان می‌دهد که سیلی‌بینین در طول موج 380 nm بیشترین جذب نوری را دارد.

نتایج

تعیین طول موج مаксیمم (λ_{\max}) سیلی‌بینین

نمودار طیف جذبی سیلی‌بینین با استفاده از دستگاه اسپکتروفوتومتر در بازه $200-800 \text{ nm}$ تهییه و رسم گردید



نمودار ۱. نمودار جذب سیلی‌بینین در طول موج‌های مختلف. طول موج 380 nm به عنوان طول موج مکسیموم در نظر گرفته شد.

نمودار استاندارد برای سیلی‌بینین در حلال PBS خطی راست با معادله $Y = 0.0088X - 0.0053$ است که دارای ضریب تعیین (R^2) 0.9989 است (نمودار ۲). این معادله

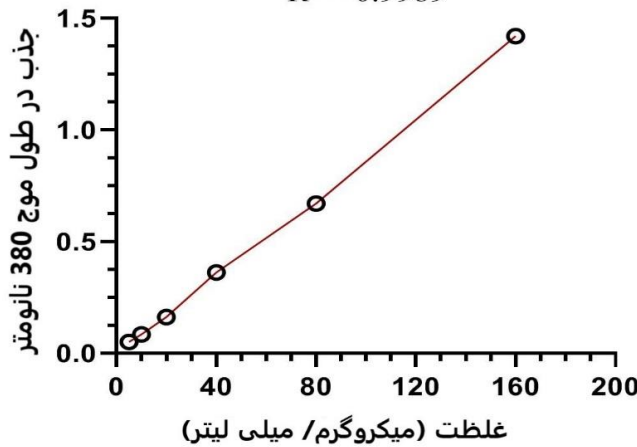
نمودار کالیبراسیون لیپوزوم حاوی سیلی‌بین در بافر PBS و ایزوپروپیل

نمودار استاندارد سیلیبینین در بافر ایزوپروپیل نیز خطی راست با معادله درجه یک $Y=0.0227X-0.0083$ و ضریب تعیین ۰/۹۹۹۱ است (نمودار ۳).

یک معادله درجه یک بوده و رابطه خطی میان جذب و غلظت را تأیید می کند.

منحنی استاندارد سیلیبینین در بافر PBS

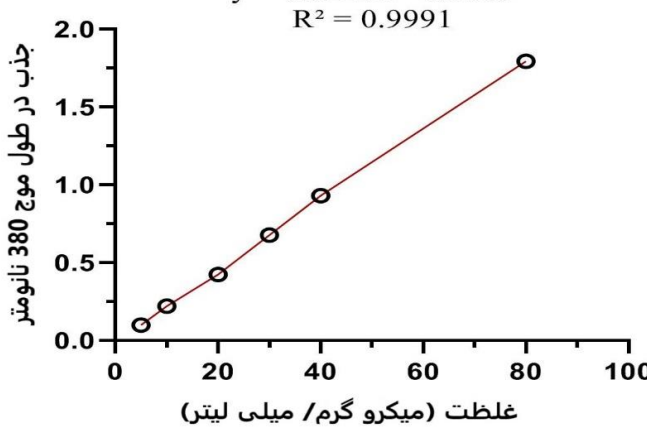
$$y = 0.0088x - 0.0053 \\ R^2 = 0.9989$$



نمودار ۲. نمودار کالیبراسیون سیلیبینین در بافر PBS.

منحنی استاندارد سیلیبینین در بافر ایزو پروپیل

$$y = 0.0227x - 0.0083 \\ R^2 = 0.9991$$



نمودار ۳. نمودار کالیبراسیون سیلیبینین در بافر ایزوپروپیل.

ایزوپروپانول، استفاده گردید و با جایگذاری داده ها در معادله ، میزان لود $2,14 \pm 0,64\%$ اندازه گیری شد.

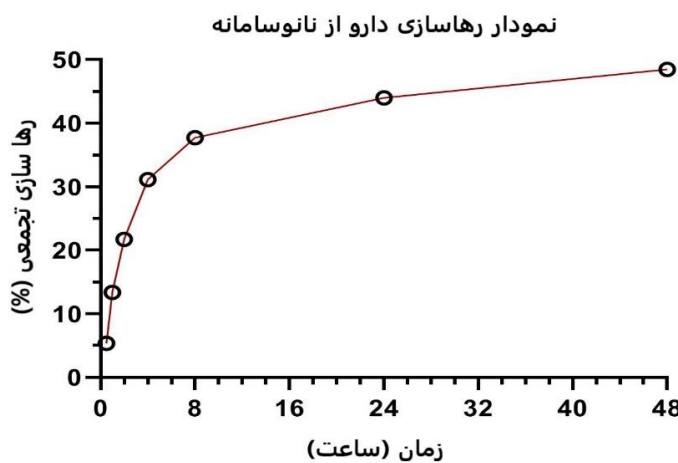
آنالیز کیفی و کمی الگوی رهایش

بررسی درصد بارگذاری سیلیبینین درون نانو سامانه لیپوزومی

در این مرحله به منظور اندازه گیری میزان سیلیبینین لود شده از معادله خط حاصل از نمودار کالیبراسیون در حلال

طبیعی به نظر می‌رسد. سپس روند رهایش با یک شیب کمابیش ملایم و ثابت ادامه می‌یابد و در زمان ۴۸ ساعت میزان رهایش به بیشترین مقدار خود می‌رسد و از این زمان به بعد با یک شیب آهسته روند آزادسازی روبه‌رو هستیم. همان‌گونه که از نمودار استنباط می‌گردد حداقل میزان رهایش بعد از ۴۸ ساعت برابر با $58\% / 42$ است.

با استفاده از نمودار استاندارد سیلی‌بینین در PBS (نمودار ۴)، در دمای ۳۷ درجه سانتی‌گراد رسم گردید. بررسی الگوی رهایش نشان می‌دهد که نانو سامانه‌های لیپوزومی حاوی سیلی‌بینین دارای روند رهایشی آهسته (آهسته رهش) و پیوسته‌ایی هستند. هم‌چنین رهایش شدید سیلی‌بینین در ۱۰ ساعت اولیه است که با توجه به شیب غلظت ایجاد شده میان کیسه دیالیز و بافر PBS اطراف آن، امری



نمودار ۴. نمودار رهایش سیلی‌بین در بافر PBS در واحد زمان بر حسب ساعت و در دمای ۳۷ درجه سانتی‌گراد.

بررسی نانوحامل‌های لیپوزومی حامل سیلی‌بینین و فاقد سیلی‌بینین

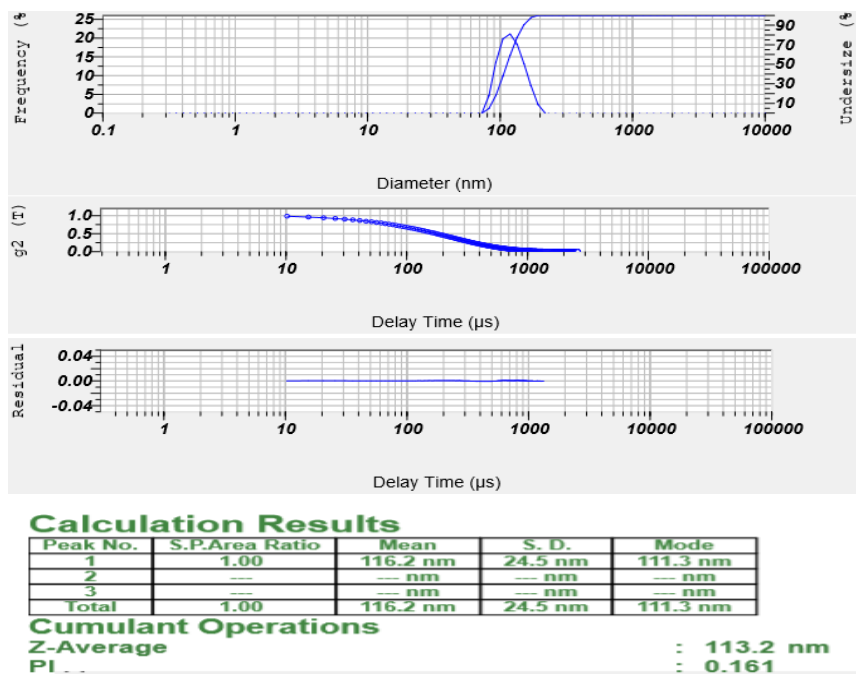
نتایج حاصل از سمیت نانولیپوزوم بدون دارو (بلانک لیپوزوم) و مقایسه آن نسبت به کنترل نشان می‌دهد که نانولیپوزوم بدون دارو، روی سلول‌های BT-474 سمیت نداشته و تأثیر جانبی روی سلول‌های بدن ایجاد نمی‌کند. نتایج تست MTT بعد از ۴۸ ساعت انکوباسیون رده سلولی BT-474 با غلظت‌های مختلف و فرم لیپوزومی سیلی‌بینین نشان می‌دهد که اثر سیلی‌بینین آزاد و سیلی‌بینین نانولیپوزومه در زمان ۴۸ ساعت بهترین از غلظت ۲۵ و $۱۲/۵$ میکروگرم بر میلی‌لیتر و بیشتر از آن در مقایسه با گروه کنترل معنی‌دار شد (<0.0001). این یافته‌ها نشان می‌دهد سیلی‌بینین آزاد در زمان ۴۸ ساعت با دوز بیشتر باعث مهار رشد سلول‌های سرطانی می‌گردد. در حالی که فرم نانولیپوزومه سیلی‌بینین با دوز کمتر می‌تواند (با غلظت

اندازه و بار سطحی (پتانسیل زتا) نانو سامانه‌های لیپوزومی

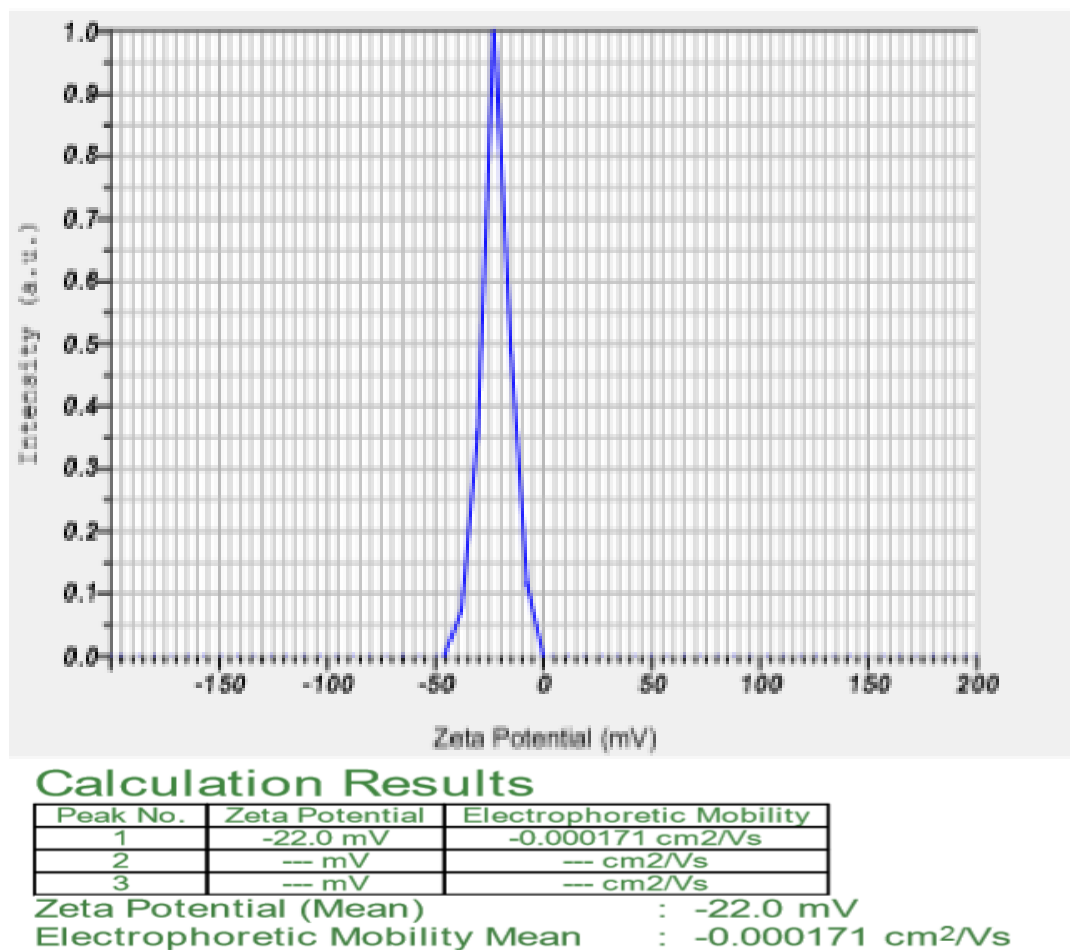
بررسی‌های DLS نشان می‌دهد که اندازه نانولیپوزوم‌های حاوی سیلی‌بینین $۱۱۳/۲$ نانومتر است (شکل ۱) که تأیید کننده انداز مناسب نانو حامل‌ها است (زیر ۱۵۰ نانومتر). هم‌چنین میزان شارژ سطحی نانولیپوزوم‌های حاوی دارو معادل ۲۲ ± ۱.۶۳ mV است که نشان می‌دهد نانو سامانه حاصله، از نوع آنیونی است (شکل ۲).

مورفولوژی نانوذرات لیپوزومی حاوی سیلی‌بین
با توجه به تصاویر حاصل از عکس‌برداری از نانو حامل لیپیدی به‌وسیله میکروسکوپ نیروی اتمی (AFM) (شکل ۳)، مشاهده می‌شود که نانو حامل ساختار کروی خود را حفظ نموده است و نانو حامل‌های سنتز شده هیچ‌گونه تجمعی که سبب از دست رفتن پایداری و رفتار نامطلوب نانو حامل شود، از خود نشان نداده است.

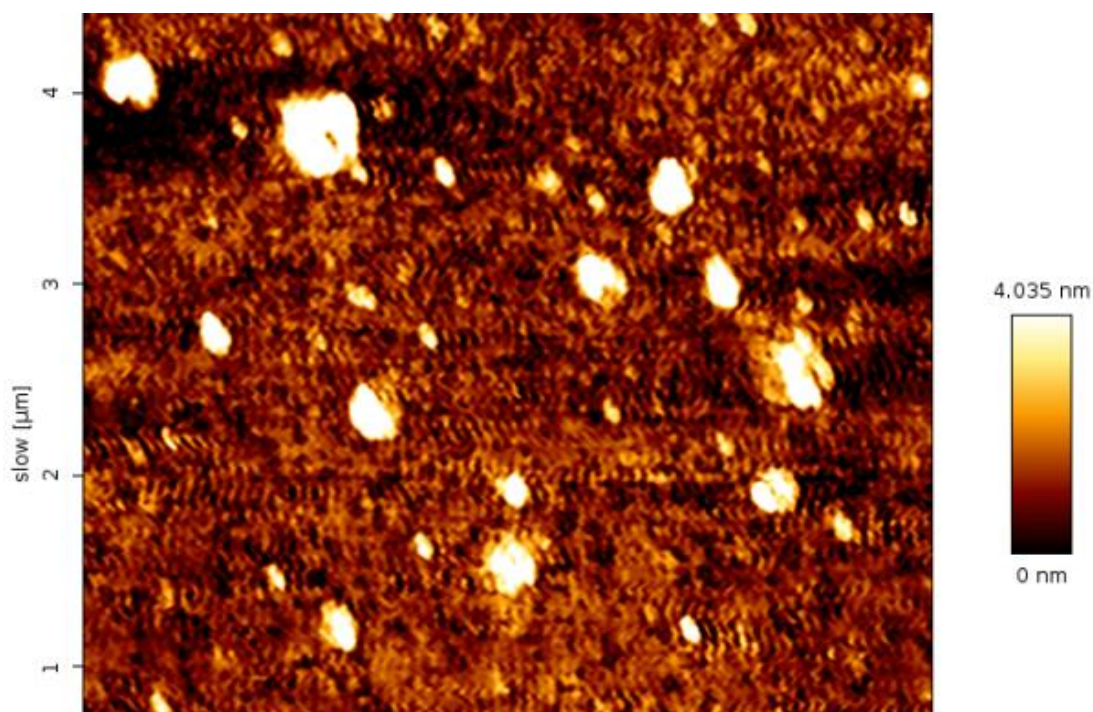
نانولیپوزومه $1/2 \pm 38/7$ میکروگرم بر میلی لیتر در اثر بر روی سلول های سرطان پستان BT-474 است (جدول ۲، شکل ۶) که نشان می دهد سیلی بینین در فرم نانولیپوزومه با غلظت و میزان دوز داروی کمتر، سمتی بالاتری را در سلول های سرطانی نسبت به فرم آزاد ایجاد می کند و می توان نتیجه گرفت که سیلی بینین آزاد استفاده می شود، افزایش داشت زمانی که از سیلی بینین آزاد IC50 سیلی بینین < 0.0001 (P-value). همچنین میزان IC50 سیلی بینین آزاد $220/6 \pm 5/8$ میکروگرم بر میلی لیتر و سیلی بینین

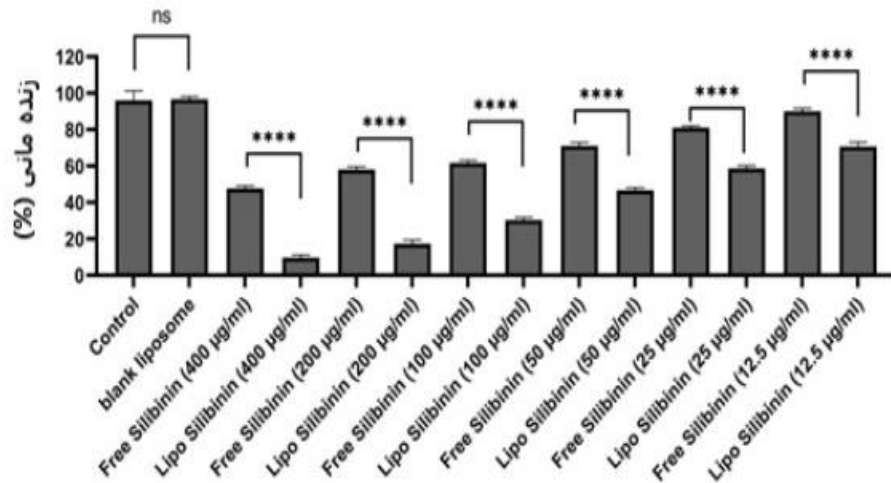


شکل ۱. اندازه نانو سامانه حاوی سیلی بین بر حسب نانومتر.

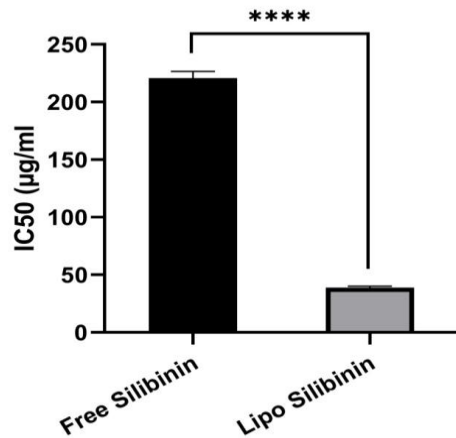


شکل ۲. پتانسیل زتا نانو سامانه حاوی سیلیبین بر حسب میلیولت.





نمودار ۱. نتایج حاصل از تست MTT بر روی رده سلولی BT-474 سرطان پستان بعد از ۴۸ ساعت تیمار آن‌ها با فرم آزاد داروی سیلیبینین و فرم لیپزومی شده آن در غلظت‌های مختلف. با افزایش غلظت دارو میزان سمیت آن افزایش یافته همچنین با لیپوزومه کردن آن نیز میزان اثر بخشی آن نسبت به فرم لیپزومی شده آن در غلظت‌های متفاوت است. ns: نشان دهنده عدم معناداری داده‌ها از نظر آماری است. P-value < ۰/۰۵: ****.



شکل ۴. مقایسه IC50 داروی سیلیبین آزاد و انکپسوله شده بر روی سلول‌های رده BT-474 سرطان پستان. انکپسوله کردن دارو سبب بهبود عملکرد می‌شود. P-value < ۰/۰۵: ***.

جدول ۲. مقایسه و بررسی میزان IC50 سیلیبینین آزاد با فرم نanolipozome

IC50 values ($\mu\text{g} \cdot \text{ml}^{-1}$)	
TREATMENT	ON CELLS
FREE SILIBININ	۲۲۰/۶ ± ۵/۸
LIPO SILIBININ	۳۸/۷ ± ۱/۲

نتایج این پژوهش نشان داد که نانوذره لیپیدی سیلیبینین با اندازه NM ۱۱۳/۲ و با پتانسیل زتای IV

بحث

اهمیت آن‌ها را در رسانش دارو، کاهش غلظت مصرفی دارو و بهبود عملکرد آن مشخص می‌کند.

Malekpour و همکارنش در سال ۲۰۱۰، ثابت کردند که سمیت لیپوزوم‌های حاوی دوکسوروبیسین نسبت به فرم آزاد (MDA-MB-231) دارو بر روی سلول‌های سرطان پستان بیشتر است و فرم لیپوزومه عملکرد بهتری بر روی این سلول‌ها دارند (۱۴).

Naderinezhad و همکاران نیز در سال ۲۰۱۷، سمیت کورکومین آزاد و لیپوزوم‌های حاوی کورکومین را بر روی سلول‌های سرطان استخوان بررسی کردند و به این نتیجه رسیدند که کورکومین لیپوزومه در مقایسه با فرم آزاد آن سمیت بیشتری بر روی سلول‌های سرطان استخوان دارند (۱۵).

Alavi و همکاران همچنین در سال ۲۰۱۳ نشان دادند که لیپوزوم‌های حاوی داروی ضدسرطان هیدروکسی اوره دارای اثر سمیت بیشتری نسبت به فرم آزاد دارو بر روی سلول‌های سرطان هستند (۱۶).

Sajjadiyan و همکاران نیز در سال ۲۰۱۶، سیلی‌بینین به صورت فرم نیوزومه را بر روی سلول‌های پستان سرطانی انسان (MCF-10) اثر دادند و مشخص کردند که سیلی‌بین‌های انکپسوله دارای سمیت بیشتری نسبت به فرم آزاد دارو بر روی سلول‌های سرطانی است (۱۷). هم‌سو با مطالعه‌های فوق مطالعه ما نیز ثابت کرد که اثر سمیت لیپوزوم‌های حاوی سیلی‌بینین نسبت به فرم آزاد سیلی‌بینین بر روی سلول‌های BT-474 سرطان پستان بیشتر است.

در سال ۲۰۱۳ Celia و همکارانش، نanoliposomes های حاوی عصاره ترنج با اندازه nm ۱۸۶ و پتانسیل زتای -۶ سنتز کردند و نشان دادند که نanoliposomesها علاوه‌بر افزایش حلالیت عصاره می‌توانند سبب بهبود شاخص‌های ضدسرطانی آن گردند (۱۸). کاهش سایز ذرات از جمله مزیت‌های مطالعه ما نسبت به مطالعه فوق بود.

Ochi Ardebili و همکارانش در سال ۲۰۱۵، سامانه‌های لیپیدی حاوی سیلی‌بینین با بارگذاری ۲۴٪ دارو در سامانه تهیه کردند و ضمن تأیید آهسته رهش بودن سامانه نشان

-۲۲±۱/۶۳٪ با میزان لود ۲/۱۴ ± ۰/۶۴٪ و آهسته رهش با حداقل میزان رهایش ۰/۵۸٪ در ۴۸ ساعت، باعث افزایش مرگ سلولی در سرطان پستان می‌شود.

داده‌های حاصل از بررسی اثر سیلی‌بینین و نانوذره لیپوزومی حامل سیلی‌بینین بر روی لاین سلولی BT-474 سرطان پستان با روش MTT، علاوه‌بر تأیید خاصیت ضدسرطانی سیلی‌بین نشان داد خاصیت ضدسرطانی سیلی‌بینین در حالت بارگذاری شده در نانو سامانه لیپیدی نسبت به حالت آزاد آن بیشتر است که این موضوع را می‌توان با خاصیت رها سازی آهسته دارو و پایدار بودن نانو سامانه لیپوزومی حامل سیلی‌بینین مرتبط دانست.

سرطان دومین عامل مرگ‌ومیر بعد از بیماری‌های قلبی عروقی در بسیاری از جوامع از جمله ایران است (۸). به دلیل عوارض جانبی بالای داروهای شیمی درمانی تلاش برای یافتن یک ترکیب جدید با منشأ کامل گیاهی و کم خطر، بسیار نیاز است (۹).

سیلی‌بینین، اثرهای مهاری در برابر تومور ایجاد و در نتیجه توقف چرخه سلولی در سلول‌های سرطانی اعمال می‌کند. این دارو می‌تواند از شروع و پیشرفت سرطان روده جلوگیری کند. سیلی‌بینین می‌تواند سبب مهار آثربیانز نیز شود، این ترکیب از هیپوکسی و تشکیل لوله‌های اندوتیال و پیشرفت و تکثیر سلول‌های سرطانی جلوگیری می‌کند (۱۰).

در سال ۲۰۰۱ Lee و همکاران، سیلی‌بینین را بر روی سلول‌های MCF-7 سرطان پستان اثر داده‌اند و کاهش درصد بقا و افزایش میزان آپوپتوز در این سلول‌ها گزارش کرده‌اند (۱۱).

Mahmoodi و همکاران در سال ۲۰۱۴ نیز، اثر سیلی‌بینین را در مهار رشد و افزایش مرگ سلولی در رده سلولی T47D سرطان پستان نشان داد (۱۲). هم‌سو با مطالعه‌های فوق، مطالعه ما نیز تأثیر سیلی‌بینین بر سلول‌های BT-474 سرطان پستان و خاصیت ضدسرطانی آن را تأیید کرد.

استفاده از حامل‌های دارویی نظری لیپوزوم و نیوزوم سبب بهبود عملکرد دارو در درمان سرطان می‌شود (۱۳). مطالعه -

مدل‌های حیوانی و همچنین بررسی اثر همزمان سیلی-
بینین‌های انکپسوله شده بر روی سلطان پستان و تخدمان
پیشنهاد می‌گردد.

به ۲۵٪ است (۱۹). از جمله برتری‌های این مطالعه نسبت به Ochi Ardebili درصد لود بالاتر دارو است.

و همکارانش نیز در سال ۲۰۱۵ نانو سامانه‌های Haghjoo لیپیدی حاوی بتاکارتن با اندازه بین ۸۰ تا ۹۰ نانومتر و میزان بارگذاری $68/83$ درصد و شاخص پراکندگی $0/3$ درصد سنتر کردند (۲۰). نتایج مطالعه آن‌ها از نظر میزان بارگذاری دارو بسیار شبیه نتایج پژوهش ما بود.

و همکاران نیز در سال ۲۰۱۶، لیپوزومهای Haghirsadat حاوی انسانس زنیان با ۱۸۶ نانومتر، بار الکترویکی -۱- تا -۶/۷ میلیولت و همپوشانی ۳۶ درصدی با دارو سنتر کردند که نشان داد سامانه لیپوزومی سبب بهبود عملکرد دارو گردید (۱۳). بهبود عملکرد دارو و کاهش میزان داروی مصرفی نسبت به فرم آزاد وجه مشترک کار ما با پژوهش Haghirsadat بود.

هم چنین Haiying Cue و همکاران نیز در مطالعه شبیه به مطالعه حاضر نanoliposomes‌هایی با اندازه بین $78/3$ تا $156/1$ نانومتر و پتانسیل زتای $-24/5$ - حاوی عصاره میخک با رهایش آهسته عصاره سنتز کردند (۲۱). مورفولوژی نانوذرات و میزان بار سطحی آن‌ها از جمله فواید ذکر شده در این مطالعه بود که با مطالعه ما هم خوانی داشت.

نتیجہ گیری

در این مطالعه موفق به بارگذاری داروی سلیبینین در
سامانه نanolipozomی و همچنین مشخصه‌یابی آن گردیدیم و
میزان تأثیر آن بر روی سلول‌های سرطان پستان رده-BT-
را نسبت به فرم آزاد دارو ارزیابی کردیم. در این مطالعه
فرمولاسیونی از نanolipozom‌های حاوی سلیبینین سنتز گردید
که در آخر منجر به ساخت فرمولاسیون بهینه نanolipozom-
های حاوی سلیبینین با خواص فیزیکوشیمیایی مناسب،
رهایش آهسته و با سمیت بیشتر و عملکرد بهتر نسبت به
فرم آزاد سلیبینین بر روی سلول‌های سرطانی گردید.
نتایج مطالعه‌های ما نشان داد به احتمال می‌شود از نانو-
لیپیوزوم‌های بهینه سنتز شده به عنوان حاملی جهت رسانش
سلیبینین به عنوان داروی ضدسرطان به سلول‌های
سرطانی از جمله سرطان پستان به منظور مقابله با این نوع
سرطان استفاده کرد. به منظور این مهم انجام یکسρی از
تحقیقات تکمیلی مثل بررسی سیر بالیستی نanolipozom‌های
حاوی سلیبینین با هدف درمان و یا پیشرفت درمان در

منابع

1. Maman S, Witz IP. A history of exploring cancer in context. *Nature Reviews Cancer*. 2018;18(6):359-76.
2. Siegel RL, Miller KD, Jemal A. Cancer statistics, 2019. *CA: a cancer journal for clinicians*. 2019;69(1):7-34.
3. DeSantis CE, Ma J, Gaudet MM, Newman LA, Miller KD, Goding Sauer A, et al. Breast cancer statistics, 2019. *CA: a cancer journal for clinicians*. 2019;69(6):438-51.
4. Waks AG, Winer EP. Breast cancer treatment: a review. *Jama*. 2019;321(3):288-300.
5. Li Z, Tan S, Li S, Shen Q, Wang K. Cancer drug delivery in the nano era: An overview and perspectives. *Oncology reports*. 2017;38(2):611-24.
6. Elyasi S. Silybum marianum, antioxidant activity, and cancer patients. *Cancer*: Elsevier; 2021. p. 483-93.
7. Vahed SZ, Salehi R, Davaran S, Sharifi S. Liposome-based drug co-delivery systems in cancer cells. *Materials Science and Engineering: C*. 2017;71:1327-41.
8. Bray F, Ferlay J, Soerjomataram I, Siegel RL, Torre LA, Jemal A. Global cancer statistics 2018: GLOBOCAN estimates of incidence and mortality worldwide for 36 cancers in 185 countries. *CA: a cancer journal for clinicians*. 2018;68(6):394-424.
9. Boojar MMA, Boojar MMA, Golmohammad S. Overview of Silibinin anti-tumor effects. *Journal of Herbal Medicine*. 2020;100375.
10. Amirsaadat S, Pilehvar-Soltanahmadi Y, Zarghami F, Alipour S, Ebrahimnezhad Z, Zarghami N. Silibinin-loaded magnetic nanoparticles inhibit hTERT gene expression and proliferation of lung cancer cells. *Artificial cells, nanomedicine, and biotechnology*. 2017;45(8):1649-56.
11. Lee C-K, Choi J-S. Effects of silibinin, inhibitor of CYP3A4 and P-glycoprotein in vitro, on the pharmacokinetics of paclitaxel after oral and intravenous administration in rats. *Pharmacology*. 2010;85(6):350-6.
12. Mahmoodi N, Motamed N, Paylakhi SH. The comparison of the effects of silybin and silybin-phosphatidylcholine on viability and ESR expression in human breast cancer T47D cell line. *Cell Journal (Yakhteh)*. 2014;16(3):299.
13. Haghirsadat F, Azhdari M, Kalantar SM, Naderinezhad S, Teymourizadeh K, Yazdani M, et al. Strategy of Improvements in the therapeutic index of medicinal herbs of Iranianin digenous: Synthesis and characterization of phospholipid lipid-based vesicles in corporated *Trachyspermum copticum*. *SSU_Journals*. 2016;24(6):468-78.
14. Malekpour B, Jalalinadoushan mohammad reza, Mansoori S, Hajihoseini R, Mirzaei M, Jamali D. Comparison of the Killing Effect of Free, Negative and Neutral Charged Liposomal Doxorubicin on Breast Cancer Cell Line Daneshvar Medicine. 2010;17(85):63-70.
15. Naderinezhad S, Haghirsadat F, Amoabediny G, Naderinezhad A, Esmaili Z, Akbarzade A. Synthesis of biodegradable and self-assembled anionic nano-carrier: Novel approach for improvement of Curcumin-delivery to bone tumors cells & Mathematical modeling of drug-release kinetic. *New Cellular and Molecular Biotechnology Journal*. 2017;7(27):77-84.

16. Alavi SE, KoohiMoftakharEsfahani M, Chiani M, Heidarinasab A. Evaluating the effect of nanoliposomal hydroxyurea urea on the breast cancer cell line. New Cellular and Molecular Biotechnology Journal. 2013;3(11):63-7.
17. Sajjadiyan SZ, Ghadernejad H, Milani AT, Mohammadian M, Abdolahpour S, Taslimi S, et al. Preparation of silibinin loaded pegylatedniosomal nanoparticles and investigation of its effect on MCF-10A human breast cancer cell line. Der Pharmacia Lettre. 2016;8(16):70-5.
18. Celia C, Trapasso E, Locatelli M, Navarra M, Ventura CA, Wolfram J, et al. Anticancer activity of liposomal bergamot essential oil (BEO) on human neuroblastoma cells. Colloids and Surfaces B: Biointerfaces. 2013;112:548-53.
19. Ochi Ardebili M, Amoabediny G, Rezayat S, Akbarzadeh A, Ebrahimi B. Design and preparation of encapsulated nano-liposome controlled release including silibinin anti-cancer herbal drug (nano phytosome). SSU_Journals. 2015;23(3):2000-12.
20. Haghjoo S, Ghanbarzadeh B, Hamishekar H, Asni Ashari S, Dehghannia J. Evaluation of Colloidal and Antioxidant Properties of Nanoliposome Loaded with Urtica dioica L. Extract. Innovative Food Technologies. 2015;2(3):11-23.
21. Cui H, Zhao C, Lin L. The specific antibacterial activity of liposome-encapsulated Clove oil and its application in tofu. Food Control. 2015;56:128-34.